

Eingabe: Farbmétrisches Offset-Reflektiv-System ORS18

für Buntton  $h^* = lab^*h = 38/360 = 0.105$

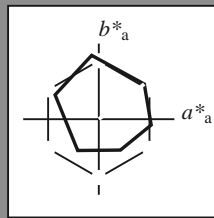
$lab^*tch$  und  $lab^*nch$

D65: Buntton O

LCH\*Ma: 52 76 38

olv\*Ma: 1.0 0.0 0.0

Dreiecks-Helligkeit  $t^*$



%Umfang

$u^*_{rel} = 85$

%Regularität

$g^*_{H,rel} = 57$

$g^*_{C,rel} = 59$

ORS18; adaptierte CIELAB-Daten

	$L^*=L^*_a$	$a^*_a$	$b^*_a$	$C^*_{ab,a}$	$h^*_{ab,a}$
O <sub>Ma</sub>	51.74	60.16	46.48	76.02	38
Y <sub>Ma</sub>	90.77	-9.44	84.41	84.94	96
L <sub>Ma</sub>	54.46	-57.8	32.16	66.15	151
C <sub>Ma</sub>	61.56	-27.91	-41.41	49.95	236
V <sub>Ma</sub>	31.3	28.61	-40.85	49.88	305
M <sub>Ma</sub>	51.91	69.26	-7.69	69.68	354
N <sub>Ma</sub>	24.2	0.0	0.0	0.0	0
W <sub>Ma</sub>	95.41	0.0	0.0	0.0	0
R <sub>CIE</sub>	44.36	53.97	24.82	59.4	25
J <sub>CIE</sub>	82.39	-1.99	62.34	62.37	92
G <sub>CIE</sub>	55.68	-38.87	10.82	40.36	164
B <sub>CIE</sub>	35.76	1.06	-43.09	43.11	271

Ausgabe: Farbmétrisches Offset-Reflektiv-System ORS18

für Buntton  $h^* = lab^*h = 38/360 = 0.105$

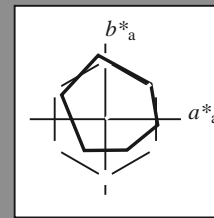
$lab^*tch$  und  $lab^*nch$

D65: Buntton O

LCH\*Ma: 52 76 38

olv\*Ma: 1.0 0.0 0.0

Dreiecks-Helligkeit  $t^*$



%Umfang

$u^*_{rel} = 85$

%Regularität

$g^*_{H,rel} = 57$

$g^*_{C,rel} = 59$

ORS18; adaptierte CIELAB-Daten

	$L^*=L^*_a$	$a^*_a$	$b^*_a$	$C^*_{ab,a}$	$h^*_{ab,a}$
R	51.79	63.09	29.02	69.44	25
R25J	53.73	56.6	48.42	74.48	41
R50J	65.47	35.67	59.82	69.65	59
R75J	76.51	15.98	70.55	72.34	77
J	86.93	-2.58	80.67	80.71	92
J25G	84.92	-17.23	75.99	77.92	103
J50G	73.11	-32.96	59.0	67.58	119
J75G	60.06	-50.34	40.22	64.44	141
G	56.21	-50.44	14.04	52.36	164
G25B	57.95	-43.12	-3.96	43.31	185
G50B	60.3	-33.22	-28.35	43.68	220
G75B	53.27	-12.42	-41.26	43.1	253
B	46.07	1.01	-41.12	41.15	271
B25R	34.63	22.38	-40.91	46.64	299
B50R	45.15	55.92	-18.57	58.93	342
B75R	51.85	65.84	12.67	67.04	11

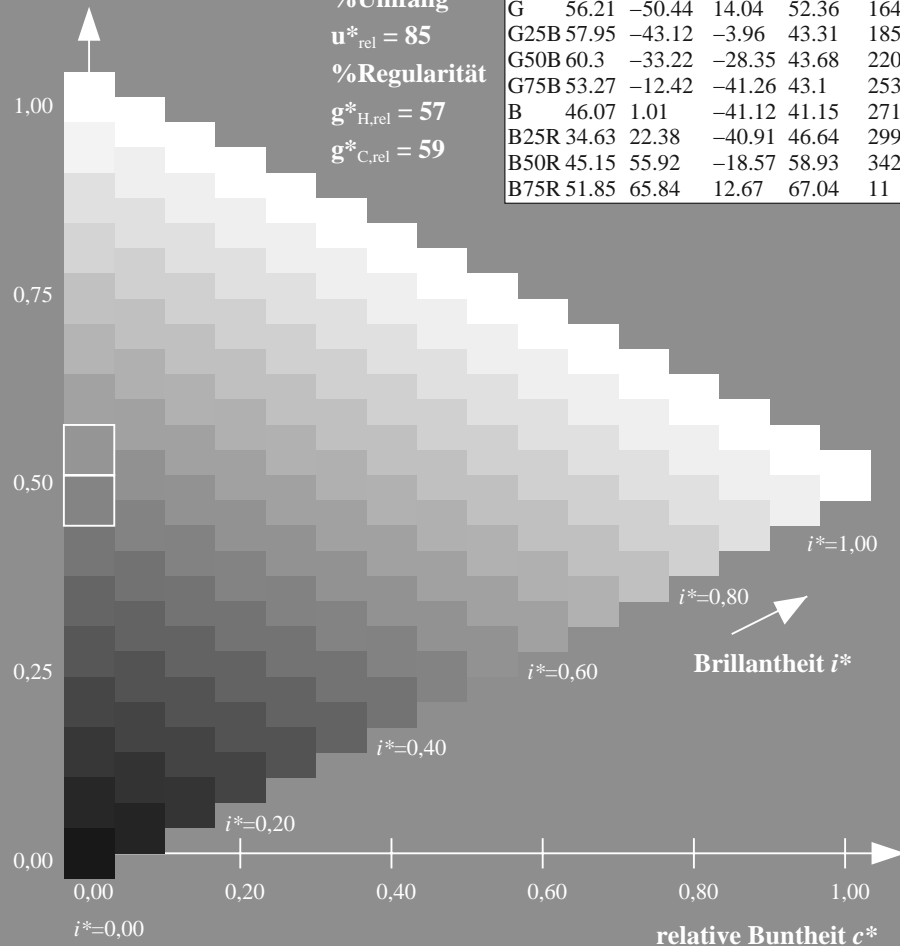
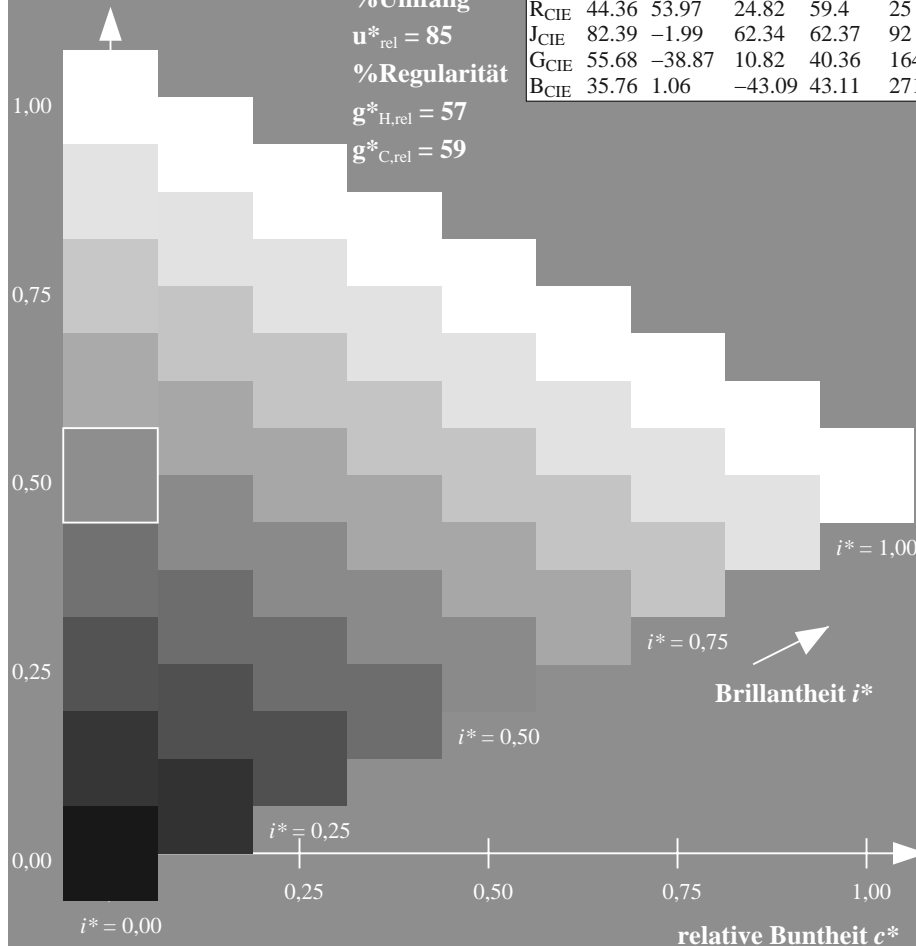
%Umfang

$u^*_{rel} = 85$

%Regularität

$g^*_{H,rel} = 57$

$g^*_{C,rel} = 59$



ZG880-7F, 9stufige Reihen für konstanten CIELAB Buntton 38/360 = 0.105 (links)

Seite 1/10

ZG880-7F, 16stufige Reihen für konstanten CIELAB Buntton 38/360 = 0.105 (rechts)

BAM-Prüfvorlage ZG88; Farbmétrik-Systeme, Seite 1/10  
D65: 9 und 16stufige Farbreihen für 10 Bunttöne

Eingabe:  $rgb / cmy0$  set( $rgb/cmyk$ )color  
Ausgabe:  $\rightarrow LAB^* \rightarrow cmy5^*$  set( $cmykcolo$

BAM-Registrierung: 20071001-ZG88/10L/L88G00FP.PS/.PDF BAM-Material: Code=rh4ta  
Anwendung für Beurteilung und Messung von Drucker- oder Monitorsystemen

Eingabe: Farbmétrisches Offset-Reflektiv-System ORS18

für Buntton  $h^* = lab^*h = 96/360 = 0.268$

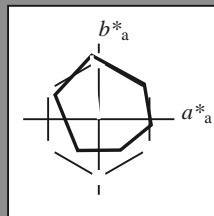
$lab^*tch$  und  $lab^*nch$

D65: Buntton Y

LCH\*Ma: 91 85 96

olv\*Ma: 1.0 1.0 0.0

Dreiecks-Helligkeit  $t^*$



%Umfang

$u^*_{rel} = 85$

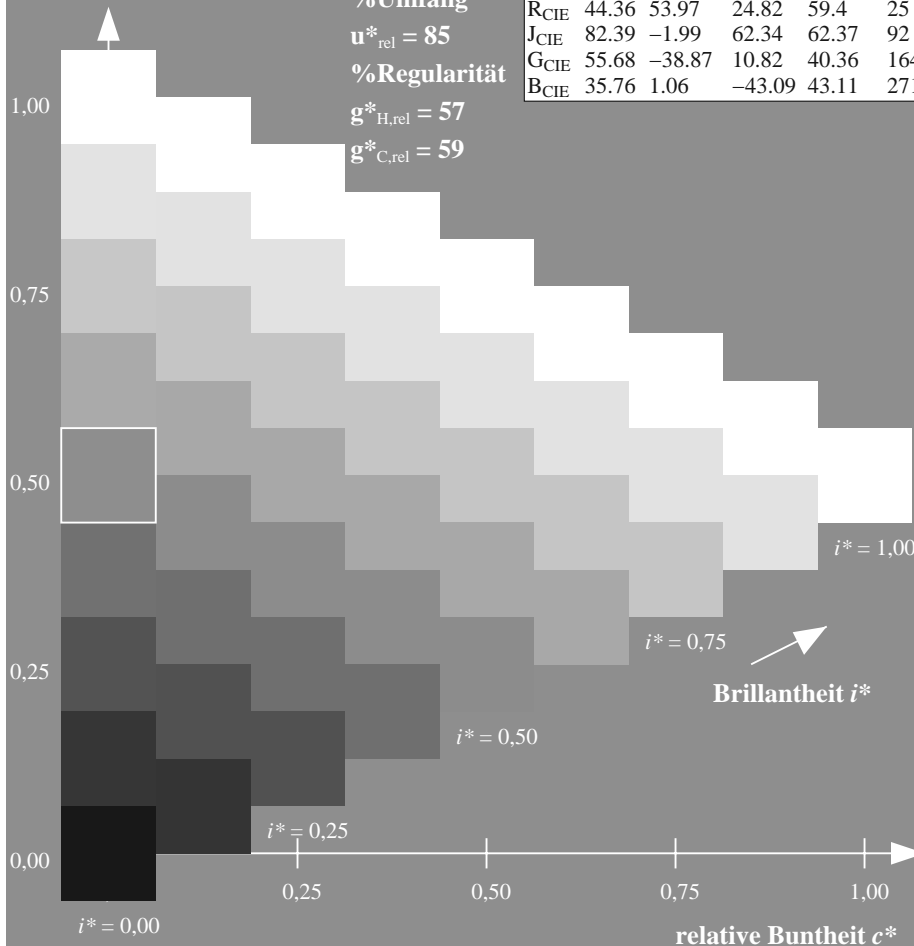
%Regularität

$g^*_{H,rel} = 57$

$g^*_{C,rel} = 59$

ORS18; adaptierte CIELAB-Daten

	$L^*=L^*_a$	$a^*_a$	$b^*_a$	$C^*_{ab,a}$	$h^*_{ab,a}$
O <sub>Ma</sub>	51.74	60.16	46.48	76.02	38
Y <sub>Ma</sub>	90.77	-9.44	84.41	84.94	96
L <sub>Ma</sub>	54.46	-57.8	32.16	66.15	151
C <sub>Ma</sub>	61.56	-27.91	-41.41	49.95	236
V <sub>Ma</sub>	31.3	28.61	-40.85	49.88	305
M <sub>Ma</sub>	51.91	69.26	-7.69	69.68	354
N <sub>Ma</sub>	24.2	0.0	0.0	0.0	0
W <sub>Ma</sub>	95.41	0.0	0.0	0.0	0
R <sub>CIE</sub>	44.36	53.97	24.82	59.4	25
J <sub>CIE</sub>	82.39	-1.99	62.34	62.37	92
G <sub>CIE</sub>	55.68	-38.87	10.82	40.36	164
B <sub>CIE</sub>	35.76	1.06	-43.09	43.11	271



ZG880-7F, 9stufige Reihen für konstanten CIELAB Buntton 96/360 = 0.268 (links)

Seite 2/10

BAM-Prüfvorlage ZG88; Farbmétrik-Systeme, Seite 2/10  
D65: 9 und 16stufige Farbreihen für 10 Bunttöne

Ausgabe: Farbmétrisches Offset-Reflektiv-System ORS18

für Buntton  $h^* = lab^*h = 96/360 = 0.268$

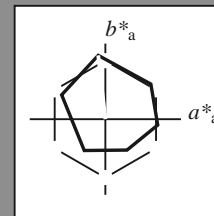
$lab^*tch$  und  $lab^*nch$

D65: Buntton Y

LCH\*Ma: 91 85 96

olv\*Ma: 1.0 1.0 0.0

Dreiecks-Helligkeit  $t^*$



%Umfang

$u^*_{rel} = 85$

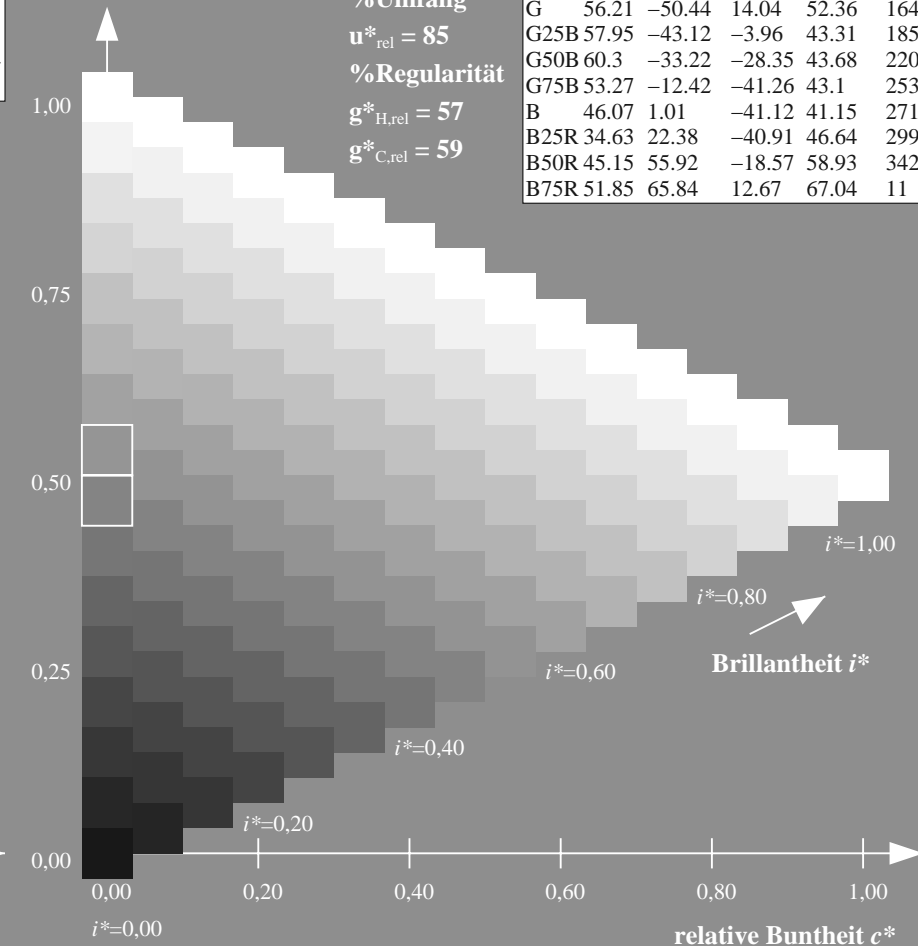
%Regularität

$g^*_{H,rel} = 57$

$g^*_{C,rel} = 59$

ORS18; adaptierte CIELAB-Daten

	$L^*=L^*_a$	$a^*_a$	$b^*_a$	$C^*_{ab,a}$	$h^*_{ab,a}$
R	51.79	63.09	29.02	69.44	25
R25J	53.73	56.6	48.42	74.48	41
R50J	65.47	35.67	59.82	69.65	59
R75J	76.51	15.98	70.55	72.34	77
J	86.93	-2.58	80.67	80.71	92
J25G	84.92	-17.23	75.99	77.92	103
J50G	73.11	-32.96	59.0	67.58	119
J75G	60.06	-50.34	40.22	64.44	141
G	56.21	-50.44	14.04	52.36	164
G25B	57.95	-43.12	-3.96	43.31	185
G50B	60.3	-33.22	-28.35	43.68	220
G75B	53.27	-12.42	-41.26	43.1	253
B	46.07	1.01	-41.12	41.15	271
B25R	34.63	22.38	-40.91	46.64	299
B50R	45.15	55.92	-18.57	58.93	342
B75R	51.85	65.84	12.67	67.04	11



ZG880-7F, 16stufige Reihen für konstanten CIELAB Buntton 96/360 = 0.268 (rechts)

n\*

Eingabe:  $rgb / cmy0 set(rgb/cmyk)color$   
Ausgabe:  $->LAB^*->cmy5^* setcmykcolo$

Eingabe: Farbmétrisches Offset-Reflektiv-System ORS18

für Buntton  $h^* = lab^*h = 151/360 = 0.419$

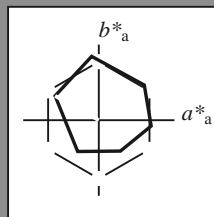
$lab^*tch$  und  $lab^*nch$

D65: Buntton L

LCH\*Ma: 54 66 151

olv\*Ma: 0.0 1.0 0.0

Dreiecks-Helligkeit  $t^*$



%Umfang

$u^*_{rel} = 85$

%Regularität

$g^*_{H,rel} = 57$

$g^*_{C,rel} = 59$

ORS18; adaptierte CIELAB-Daten

	$L^*=L^*_a$	$a^*_a$	$b^*_a$	$C^*_{ab,a}$	$h^*_{ab,a}$
O <sub>Ma</sub>	51.74	60.16	46.48	76.02	38
Y <sub>Ma</sub>	90.77	-9.44	84.41	84.94	96
L <sub>Ma</sub>	54.46	-57.8	32.16	66.15	151
C <sub>Ma</sub>	61.56	-27.91	-41.41	49.95	236
V <sub>Ma</sub>	31.3	28.61	-40.85	49.88	305
M <sub>Ma</sub>	51.91	69.26	-7.69	69.68	354
N <sub>Ma</sub>	24.2	0.0	0.0	0.0	0
W <sub>Ma</sub>	95.41	0.0	0.0	0.0	0
R <sub>CIE</sub>	44.36	53.97	24.82	59.4	25
J <sub>CIE</sub>	82.39	-1.99	62.34	62.37	92
G <sub>CIE</sub>	55.68	-38.87	10.82	40.36	164
B <sub>CIE</sub>	35.76	1.06	-43.09	43.11	271

Ausgabe: Farbmétrisches Offset-Reflektiv-System ORS18

für Buntton  $h^* = lab^*h = 151/360 = 0.419$

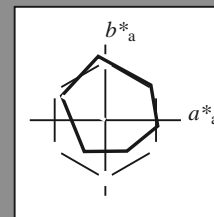
$lab^*tch$  und  $lab^*nch$

D65: Buntton L

LCH\*Ma: 54 66 151

olv\*Ma: 0.0 1.0 0.0

Dreiecks-Helligkeit  $t^*$



%Umfang

$u^*_{rel} = 85$

%Regularität

$g^*_{H,rel} = 57$

$g^*_{C,rel} = 59$

ORS18; adaptierte CIELAB-Daten

	$L^*=L^*_a$	$a^*_a$	$b^*_a$	$C^*_{ab,a}$	$h^*_{ab,a}$
R	51.79	63.09	29.02	69.44	25
R25J	53.73	56.6	48.42	74.48	41
R50J	65.47	35.67	59.82	69.65	59
R75J	76.51	15.98	70.55	72.34	77
J	86.93	-2.58	80.67	80.71	92
J25G	84.92	-17.23	75.99	77.92	103
J50G	73.11	-32.96	59.0	67.58	119
J75G	60.06	-50.34	40.22	64.44	141
G	56.21	-50.44	14.04	52.36	164
G25B	57.95	-43.12	-3.96	43.31	185
G50B	60.3	-33.22	-28.35	43.68	220
G75B	53.27	-12.42	-41.26	43.1	253
B	46.07	1.01	-41.12	41.15	271
B25R	34.63	22.38	-40.91	46.64	299
B50R	45.15	55.92	-18.57	58.93	342
B75R	51.85	65.84	12.67	67.04	11

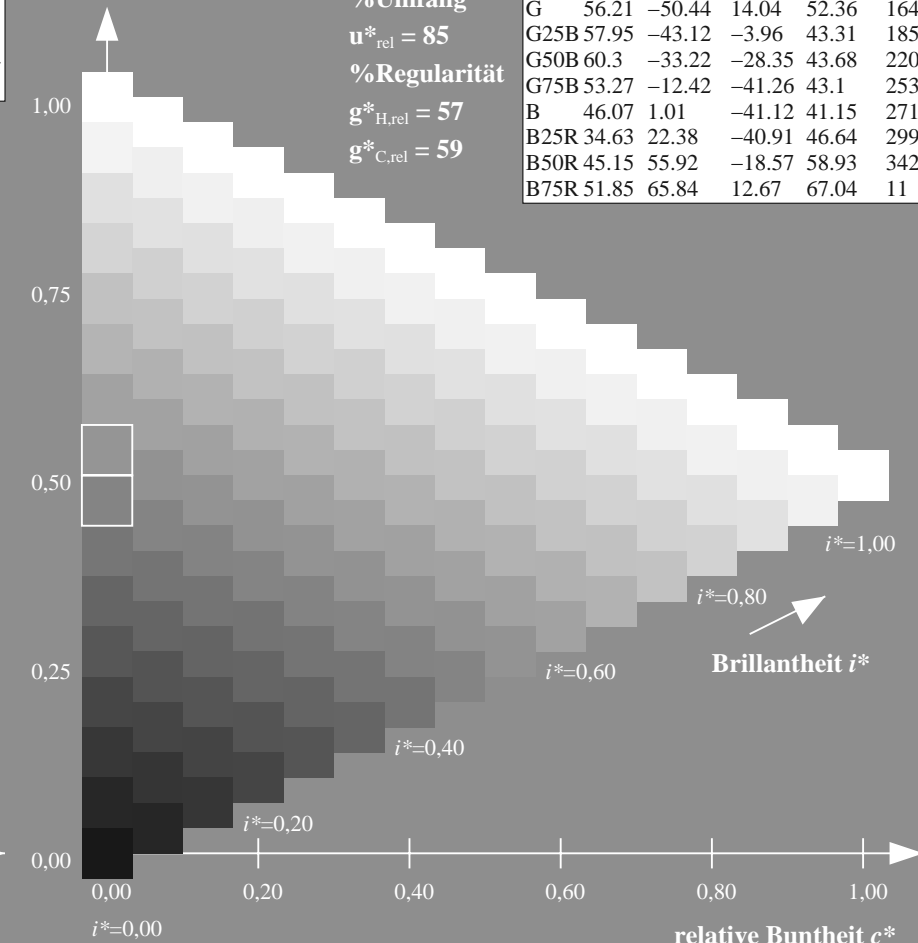
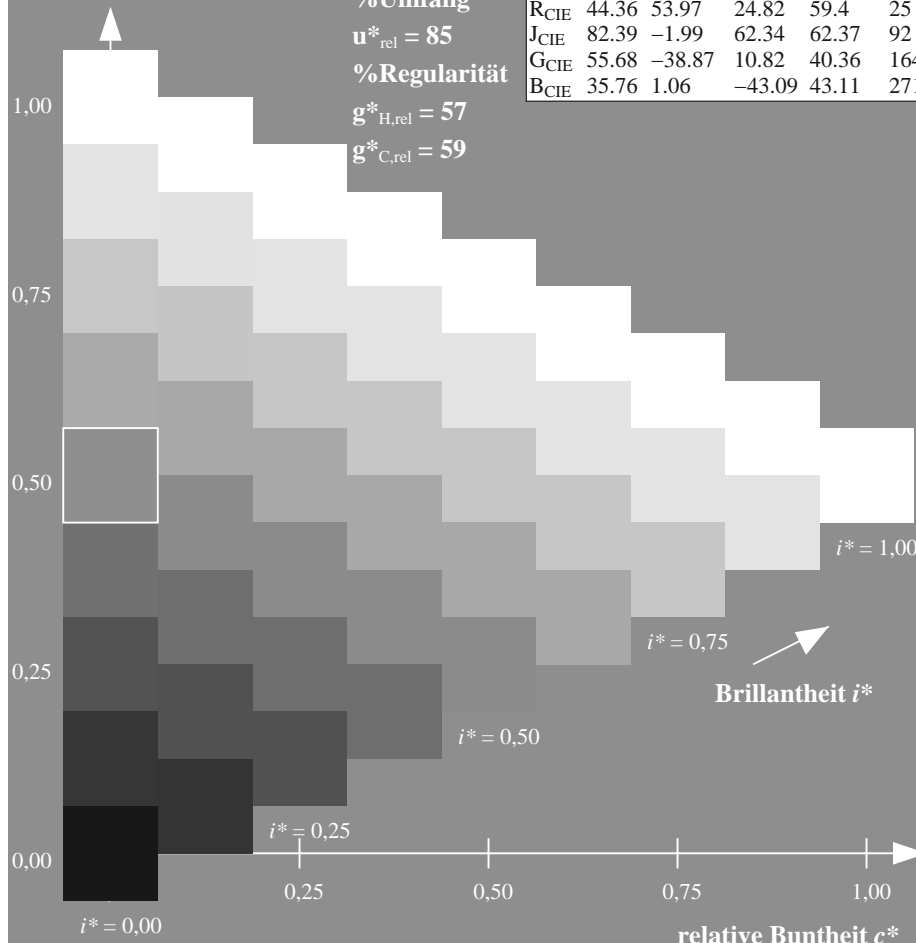
%Umfang

$u^*_{rel} = 85$

%Regularität

$g^*_{H,rel} = 57$

$g^*_{C,rel} = 59$



ZG880-7F, 9stufige Reihen für konstanten CIELAB Buntton 151/360 = 0.419 (links)

Seite 3/10

ZG880-7F, 16stufige Reihen für konstanten CIELAB Buntton 151/360 = 0.419 (rechts)

n\*

Eingabe: Farbmétrisches Offset-Reflektiv-System ORS18

für Buntton  $h^* = lab^*h = 236/360 = 0.656$

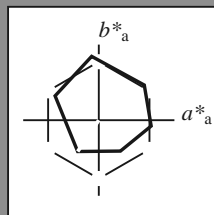
$lab^*tch$  und  $lab^*nch$

D65: Buntton C

LCH\*Ma: 62 50 236

olv\*Ma: 0.0 1.0 1.0

Dreiecks-Helligkeit  $t^*$



%Umfang

$u^*_{rel} = 85$

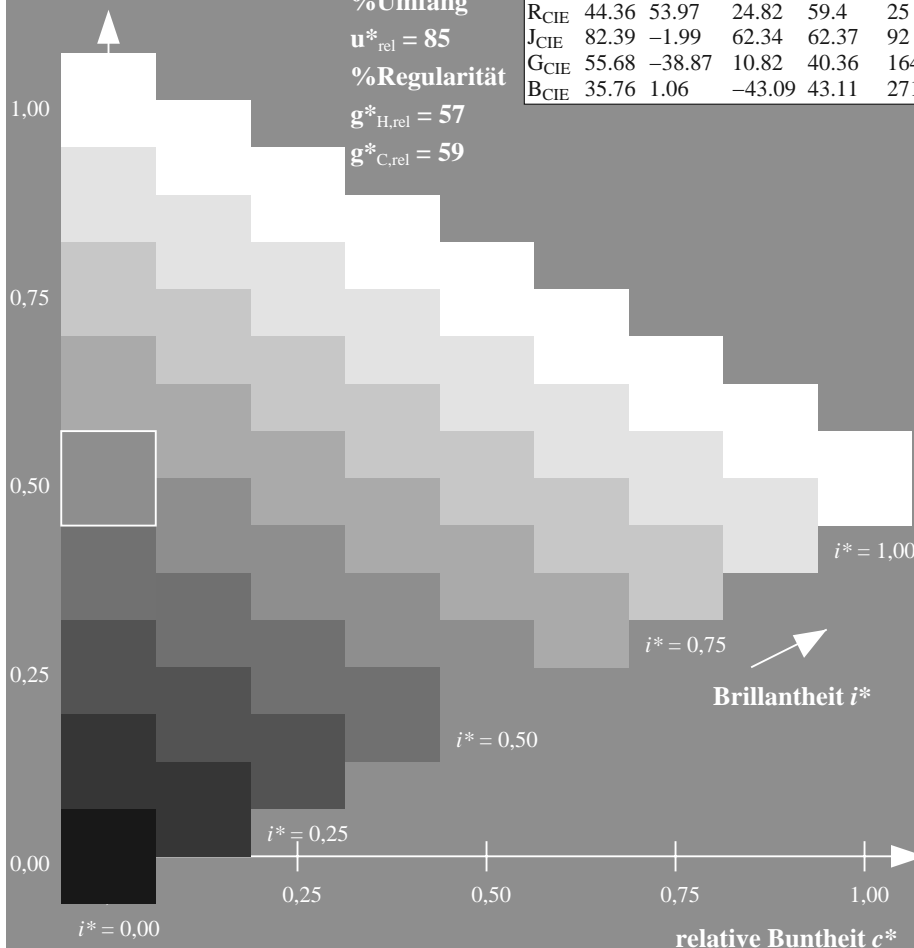
%Regularität

$g^*_{H,rel} = 57$

$g^*_{C,rel} = 59$

ORS18; adaptierte CIELAB-Daten

	$L^*=L^*_a$	$a^*_a$	$b^*_a$	$C^*_{ab,a}$	$h^*_{ab,a}$
O <sub>Ma</sub>	51.74	60.16	46.48	76.02	38
Y <sub>Ma</sub>	90.77	-9.44	84.41	84.94	96
L <sub>Ma</sub>	54.46	-57.8	32.16	66.15	151
C <sub>Ma</sub>	61.56	-27.91	-41.41	49.95	236
V <sub>Ma</sub>	31.3	28.61	-40.85	49.88	305
M <sub>Ma</sub>	51.91	69.26	-7.69	69.68	354
N <sub>Ma</sub>	24.2	0.0	0.0	0.0	0
W <sub>Ma</sub>	95.41	0.0	0.0	0.0	0
R <sub>CIE</sub>	44.36	53.97	24.82	59.4	25
J <sub>CIE</sub>	82.39	-1.99	62.34	62.37	92
G <sub>CIE</sub>	55.68	-38.87	10.82	40.36	164
B <sub>CIE</sub>	35.76	1.06	-43.09	43.11	271



Ausgabe: Farbmétrisches Offset-Reflektiv-System ORS18

für Buntton  $h^* = lab^*h = 236/360 = 0.656$

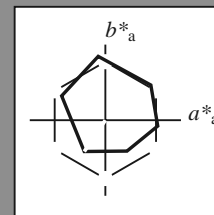
$lab^*tch$  und  $lab^*nch$

D65: Buntton C

LCH\*Ma: 62 50 236

olv\*Ma: 0.0 1.0 1.0

Dreiecks-Helligkeit  $t^*$



%Umfang

$u^*_{rel} = 85$

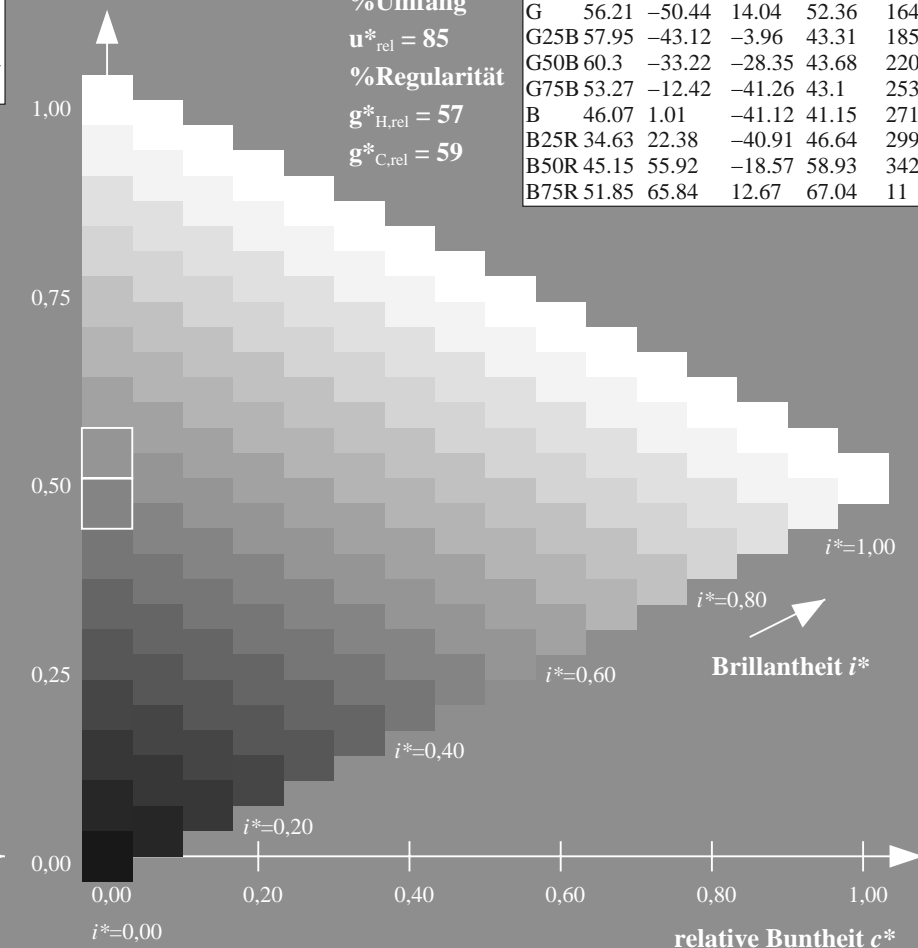
%Regularität

$g^*_{H,rel} = 57$

$g^*_{C,rel} = 59$

ORS18; adaptierte CIELAB-Daten

	$L^*=L^*_a$	$a^*_a$	$b^*_a$	$C^*_{ab,a}$	$h^*_{ab,a}$
R	51.79	63.09	29.02	69.44	25
R25J	53.73	56.6	48.42	74.48	41
R50J	65.47	35.67	59.82	69.65	59
R75J	76.51	15.98	70.55	72.34	77
J	86.93	-2.58	80.67	80.71	92
J25G	84.92	-17.23	75.99	77.92	103
J50G	73.11	-32.96	59.0	67.58	119
J75G	60.06	-50.34	40.22	64.44	141
G	56.21	-50.44	14.04	52.36	164
G25B	57.95	-43.12	-3.96	43.31	185
G50B	60.3	-33.22	-28.35	43.68	220
G75B	53.27	-12.42	-41.26	43.1	253
B	46.07	1.01	-41.12	41.15	271
B25R	34.63	22.38	-40.91	46.64	299
B50R	45.15	55.92	-18.57	58.93	342
B75R	51.85	65.84	12.67	67.04	11



Siehe ähnliche Dateien: <http://www.ps.bam.de/ZG88/>; [www.ps.bam.de/ZG.HTM](http://www.ps.bam.de/ZG.HTM)  
Technische Information: <http://www.ps.bam.de> Version 2.1, 10=1,1, CIELAB

BAM-Registrierung: 20071001-ZG88/10L/L88G00FP.PS/.PDF BAM-Material: Code=rh4ta  
Anwendung für Beurteilung und Messung von Drucker- oder Monitorsystemen

ZG880-7F, 9stufige Reihen für konstanten CIELAB Buntton 236/360 = 0.656 (links)

Seite 4/10

ZG880-7F, 16stufige Reihen für konstanten CIELAB Buntton 236/360 = 0.656 (rechts)

n\*

BAM-Prüfvorlage ZG88; Farbmétrik-Systeme, Seite 4/10  
D65: 9 und 16stufige Farbreihen für 10 Bunttöne

Eingabe:  $rgb / cmy0 set(rgb/cmyk)color$   
Ausgabe:  $->LAB^*->cmy5^* setcmykcolo$





Eingabe: Farbmétrisches Offset-Reflektiv-System ORS18

für Buntton  $h^* = lab^*h = 25/360 = 0.069$

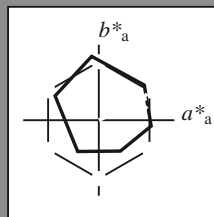
$lab^*tch$  und  $lab^*nch$

D65: Buntton R

LCH\*Ma: 52 69 25

olv\*Ma: 1.0 0.0 0.32

Dreiecks-Helligkeit  $t^*$



%Umfang

$u^*_{rel} = 85$

%Regularität

$g^*_{H,rel} = 57$

$g^*_{C,rel} = 59$

ORS18; adaptierte CIELAB-Daten

	$L^*=L^*_a$	$a^*_a$	$b^*_a$	$C^*_{ab,a}$	$h^*_{ab,a}$
O <sub>Ma</sub>	51.74	60.16	46.48	76.02	38
Y <sub>Ma</sub>	90.77	-9.44	84.41	84.94	96
L <sub>Ma</sub>	54.46	-57.8	32.16	66.15	151
C <sub>Ma</sub>	61.56	-27.91	-41.41	49.95	236
V <sub>Ma</sub>	31.3	28.61	-40.85	49.88	305
M <sub>Ma</sub>	51.91	69.26	-7.69	69.68	354
N <sub>Ma</sub>	24.2	0.0	0.0	0.0	0
W <sub>Ma</sub>	95.41	0.0	0.0	0.0	0
R <sub>CIE</sub>	44.36	53.97	24.82	59.4	25
J <sub>CIE</sub>	82.39	-1.99	62.34	62.37	92
G <sub>CIE</sub>	55.68	-38.87	10.82	40.36	164
B <sub>CIE</sub>	35.76	1.06	-43.09	43.11	271

Ausgabe: Farbmétrisches Offset-Reflektiv-System ORS18

für Buntton  $h^* = lab^*h = 25/360 = 0.069$

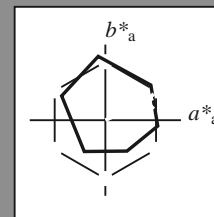
$lab^*tch$  und  $lab^*nch$

D65: Buntton R

LCH\*Ma: 52 69 25

olv\*Ma: 1.0 0.0 0.32

Dreiecks-Helligkeit  $t^*$



%Umfang

$u^*_{rel} = 85$

%Regularität

$g^*_{H,rel} = 57$

$g^*_{C,rel} = 59$

ORS18; adaptierte CIELAB-Daten

	$L^*=L^*_a$	$a^*_a$	$b^*_a$	$C^*_{ab,a}$	$h^*_{ab,a}$
R	51.79	63.09	29.02	69.44	25
R25J	53.73	56.6	48.42	74.48	41
R50J	65.47	35.67	59.82	69.65	59
R75J	76.51	15.98	70.55	72.34	77
J	86.93	-2.58	80.67	80.71	92
J25G	84.92	-17.23	75.99	77.92	103
J50G	73.11	-32.96	59.0	67.58	119
J75G	60.06	-50.34	40.22	64.44	141
G	56.21	-50.44	14.04	52.36	164
G25B	57.95	-43.12	-3.96	43.31	185
G50B	60.3	-33.22	-28.35	43.68	220
G75B	53.27	-12.42	-41.26	43.1	253
B	46.07	1.01	-41.12	41.15	271
B25R	34.63	22.38	-40.91	46.64	299
B50R	45.15	55.92	-18.57	58.93	342
B75R	51.85	65.84	12.67	67.04	11

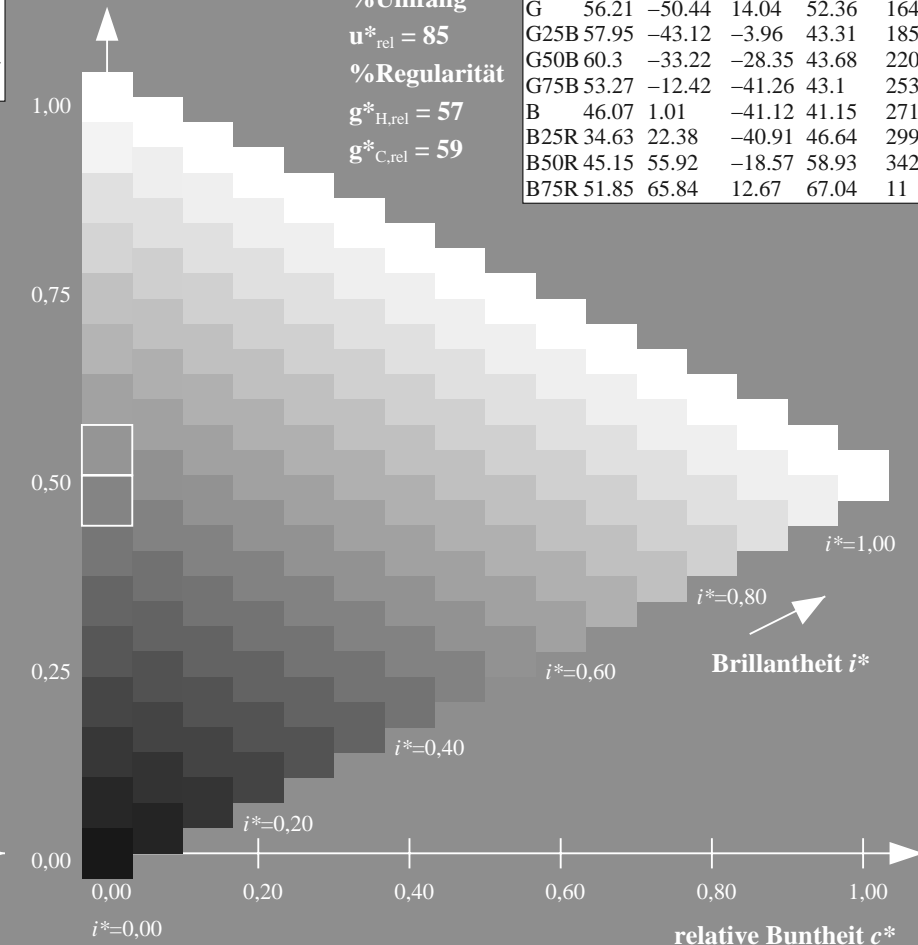
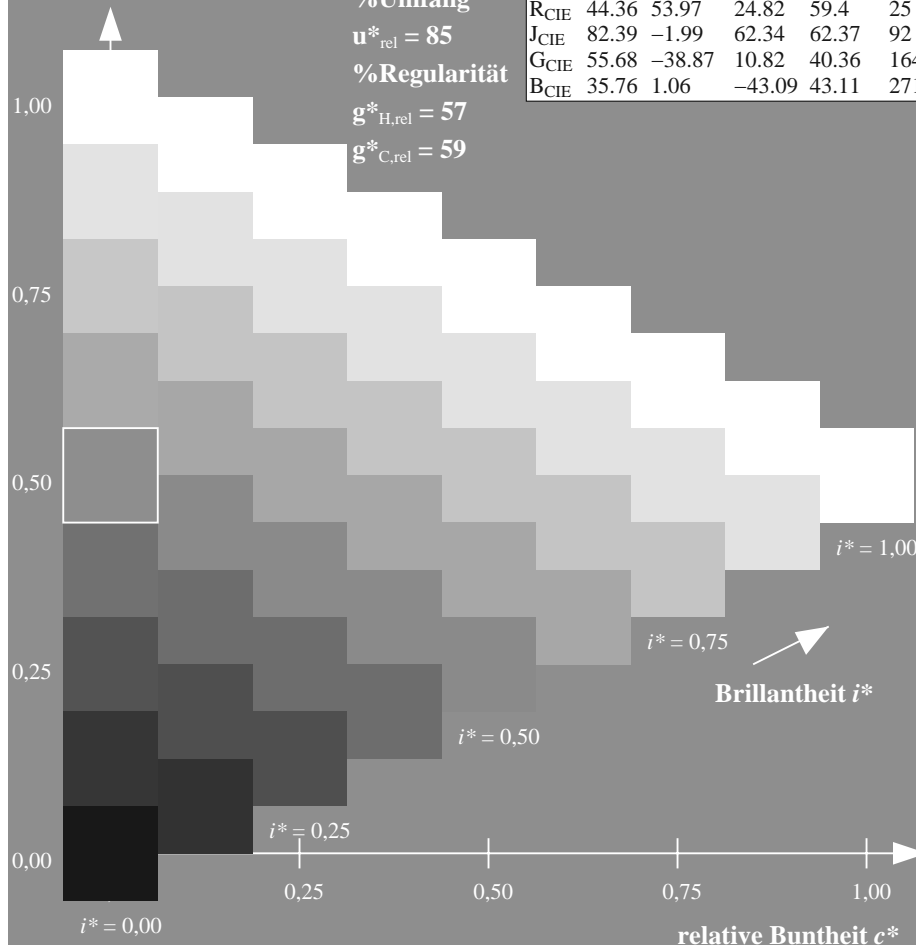
%Umfang

$u^*_{rel} = 85$

%Regularität

$g^*_{H,rel} = 57$

$g^*_{C,rel} = 59$



ZG880-7F, 9stufige Reihen für konstanten CIELAB Buntton 25/360 = 0.069 (links)

Seite 7/10

ZG880-7F, 16stufige Reihen für konstanten CIELAB Buntton 25/360 = 0.069 (rechts)

n\*

Eingabe: Farbmétrisches Offset-Reflektiv-System ORS18

für Buntton  $h^* = lab^*h = 92/360 = 0.255$

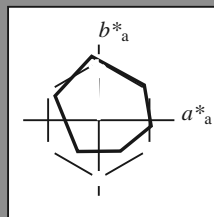
$lab^*tch$  und  $lab^*nch$

D65: Buntton J

LCH\*Ma: 87 81 92

olv\*Ma: 1.0 0.9 0.0

Dreiecks-Helligkeit  $t^*$



%Umfang

$u^*_{rel} = 85$

%Regularität

$g^*_{H,rel} = 57$

$g^*_{C,rel} = 59$

ORS18; adaptierte CIELAB-Daten

	$L^*=L^*_a$	$a^*_a$	$b^*_a$	$C^*_{ab,a}$	$h^*_{ab,a}$
O <sub>Ma</sub>	51.74	60.16	46.48	76.02	38
Y <sub>Ma</sub>	90.77	-9.44	84.41	84.94	96
L <sub>Ma</sub>	54.46	-57.8	32.16	66.15	151
C <sub>Ma</sub>	61.56	-27.91	-41.41	49.95	236
V <sub>Ma</sub>	31.3	28.61	-40.85	49.88	305
M <sub>Ma</sub>	51.91	69.26	-7.69	69.68	354
N <sub>Ma</sub>	24.2	0.0	0.0	0.0	0
W <sub>Ma</sub>	95.41	0.0	0.0	0.0	0
R <sub>CIE</sub>	44.36	53.97	24.82	59.4	25
J <sub>CIE</sub>	82.39	-1.99	62.34	62.37	92
G <sub>CIE</sub>	55.68	-38.87	10.82	40.36	164
B <sub>CIE</sub>	35.76	1.06	-43.09	43.11	271

Ausgabe: Farbmétrisches Offset-Reflektiv-System ORS18

für Buntton  $h^* = lab^*h = 92/360 = 0.255$

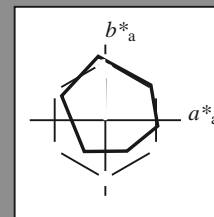
$lab^*tch$  und  $lab^*nch$

D65: Buntton J

LCH\*Ma: 87 81 92

olv\*Ma: 1.0 0.9 0.0

Dreiecks-Helligkeit  $t^*$



%Umfang

$u^*_{rel} = 85$

%Regularität

$g^*_{H,rel} = 57$

$g^*_{C,rel} = 59$

ORS18; adaptierte CIELAB-Daten

	$L^*=L^*_a$	$a^*_a$	$b^*_a$	$C^*_{ab,a}$	$h^*_{ab,a}$
R	51.79	63.09	29.02	69.44	25
R25J	53.73	56.6	48.42	74.48	41
R50J	65.47	35.67	59.82	69.65	59
R75J	76.51	15.98	70.55	72.34	77
J	86.93	-2.58	80.67	80.71	92
J25G	84.92	-17.23	75.99	77.92	103
J50G	73.11	-32.96	59.0	67.58	119
J75G	60.06	-50.34	40.22	64.44	141
G	56.21	-50.44	14.04	52.36	164
G25B	57.95	-43.12	-3.96	43.31	185
G50B	60.3	-33.22	-28.35	43.68	220
G75B	53.27	-12.42	-41.26	43.1	253
B	46.07	1.01	-41.12	41.15	271
B25R	34.63	22.38	-40.91	46.64	299
B50R	45.15	55.92	-18.57	58.93	342
B75R	51.85	65.84	12.67	67.04	11

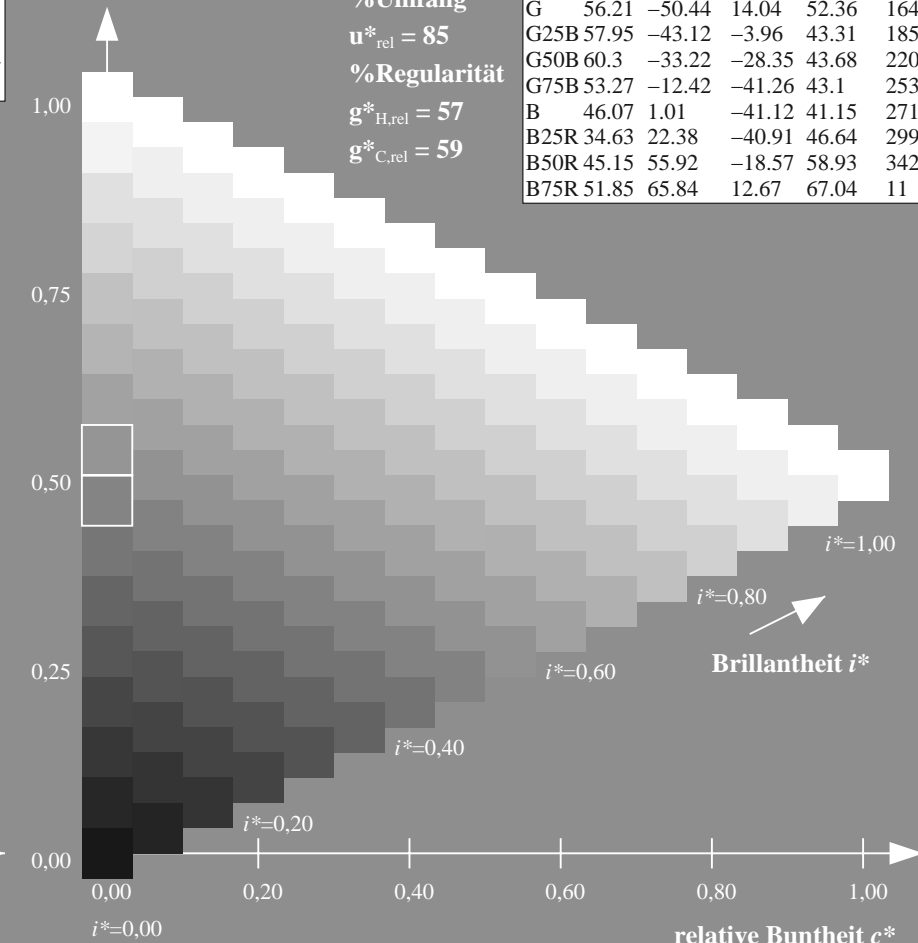
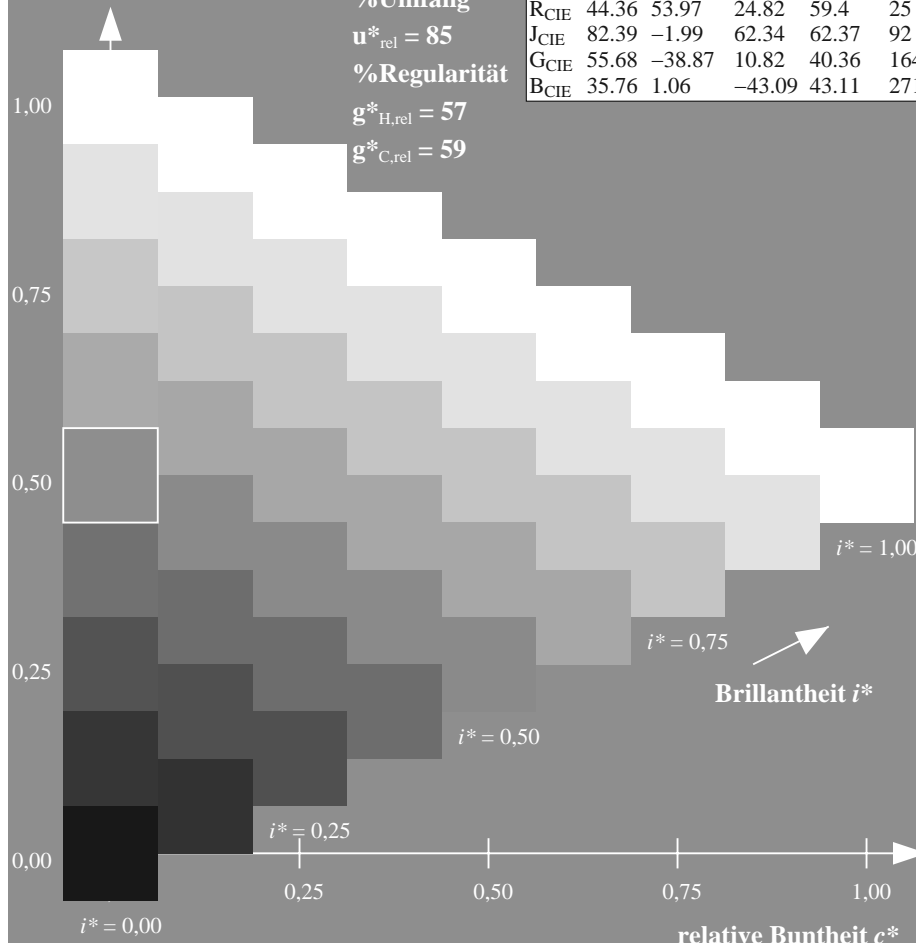
%Umfang

$u^*_{rel} = 85$

%Regularität

$g^*_{H,rel} = 57$

$g^*_{C,rel} = 59$



ZG880-7F, 9stufige Reihen für konstanten CIELAB Buntton 92/360 = 0.255 (links)

Seite 8/10

ZG880-7F, 16stufige Reihen für konstanten CIELAB Buntton 92/360 = 0.255 (rechts)

n\*

BAM-Prüfvorlage ZG88; Farbmétrik-Systeme, Seite 8/10

D65: 9 und 16stufige Farbreihen für 10 Bunttöne

Eingabe:  $rgb / cmy0 set(rgb/cmyk)color$

Ausgabe:  $->LAB^*->cmy5^* setcmykcolo$



Eingabe: Farbmétrisches Offset-Reflektiv-System ORS18

für Buntton  $h^* = lab^*h = 164/360 = 0.457$

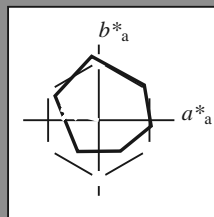
$lab^*tch$  und  $lab^*nch$

D65: Buntton G

LCH\*Ma: 56 52 164

olv\*Ma: 0.0 1.0 0.25

Dreiecks-Helligkeit  $t^*$



%Umfang

$u^*_{rel} = 85$

%Regularität

$g^*_{H,rel} = 57$

$g^*_{C,rel} = 59$

ORS18; adaptierte CIELAB-Daten

	$L^*=L^*_a$	$a^*_a$	$b^*_a$	$C^*_{ab,a}$	$h^*_{ab,a}$
O <sub>Ma</sub>	51.74	60.16	46.48	76.02	38
Y <sub>Ma</sub>	90.77	-9.44	84.41	84.94	96
L <sub>Ma</sub>	54.46	-57.8	32.16	66.15	151
C <sub>Ma</sub>	61.56	-27.91	-41.41	49.95	236
V <sub>Ma</sub>	31.3	28.61	-40.85	49.88	305
M <sub>Ma</sub>	51.91	69.26	-7.69	69.68	354
N <sub>Ma</sub>	24.2	0.0	0.0	0.0	0
W <sub>Ma</sub>	95.41	0.0	0.0	0.0	0
R <sub>CIE</sub>	44.36	53.97	24.82	59.4	25
J <sub>CIE</sub>	82.39	-1.99	62.34	62.37	92
G <sub>CIE</sub>	55.68	-38.87	10.82	40.36	164
B <sub>CIE</sub>	35.76	1.06	-43.09	43.11	271

Ausgabe: Farbmétrisches Offset-Reflektiv-System ORS18

für Buntton  $h^* = lab^*h = 164/360 = 0.457$

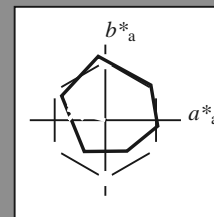
$lab^*tch$  und  $lab^*nch$

D65: Buntton G

LCH\*Ma: 56 52 164

olv\*Ma: 0.0 1.0 0.25

Dreiecks-Helligkeit  $t^*$



%Umfang

$u^*_{rel} = 85$

%Regularität

$g^*_{H,rel} = 57$

$g^*_{C,rel} = 59$

ORS18; adaptierte CIELAB-Daten

	$L^*=L^*_a$	$a^*_a$	$b^*_a$	$C^*_{ab,a}$	$h^*_{ab,a}$
R	51.79	63.09	29.02	69.44	25
R25J	53.73	56.6	48.42	74.48	41
R50J	65.47	35.67	59.82	69.65	59
R75J	76.51	15.98	70.55	72.34	77
J	86.93	-2.58	80.67	80.71	92
J25G	84.92	-17.23	75.99	77.92	103
J50G	73.11	-32.96	59.0	67.58	119
J75G	60.06	-50.34	40.22	64.44	141
G	56.21	-50.44	14.04	52.36	164
G25B	57.95	-43.12	-3.96	43.31	185
G50B	60.3	-33.22	-28.35	43.68	220
G75B	53.27	-12.42	-41.26	43.1	253
B	46.07	1.01	-41.12	41.15	271
B25R	34.63	22.38	-40.91	46.64	299
B50R	45.15	55.92	-18.57	58.93	342
B75R	51.85	65.84	12.67	67.04	11

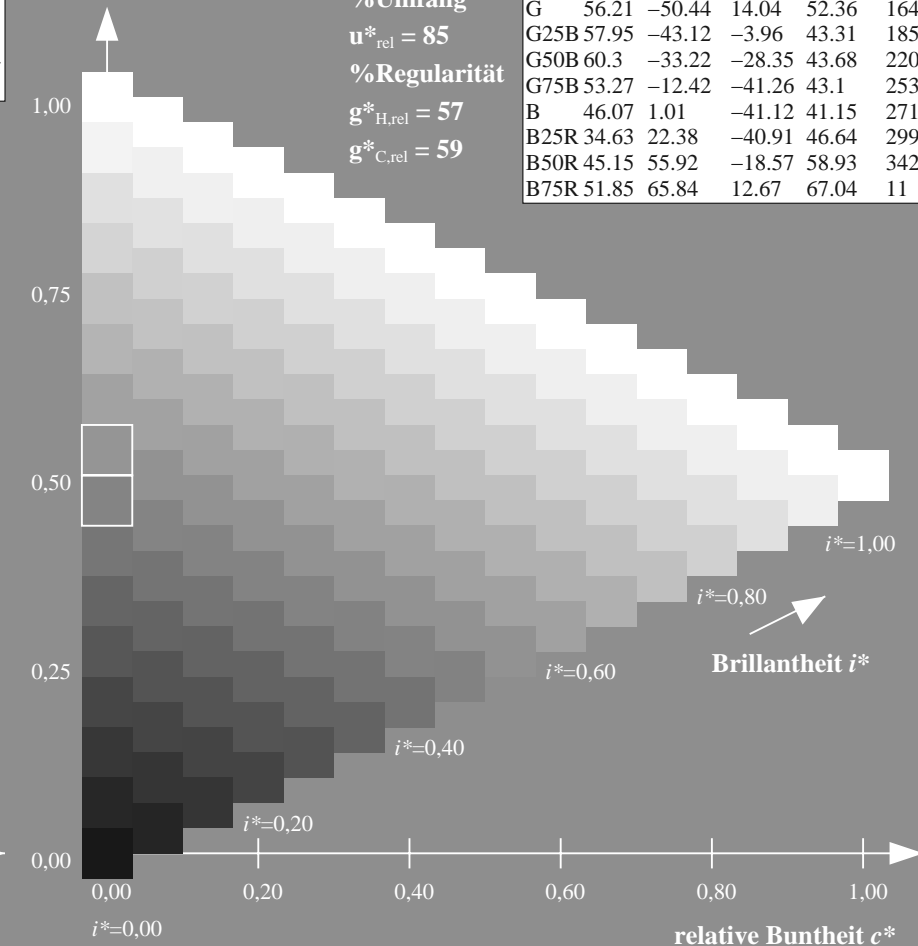
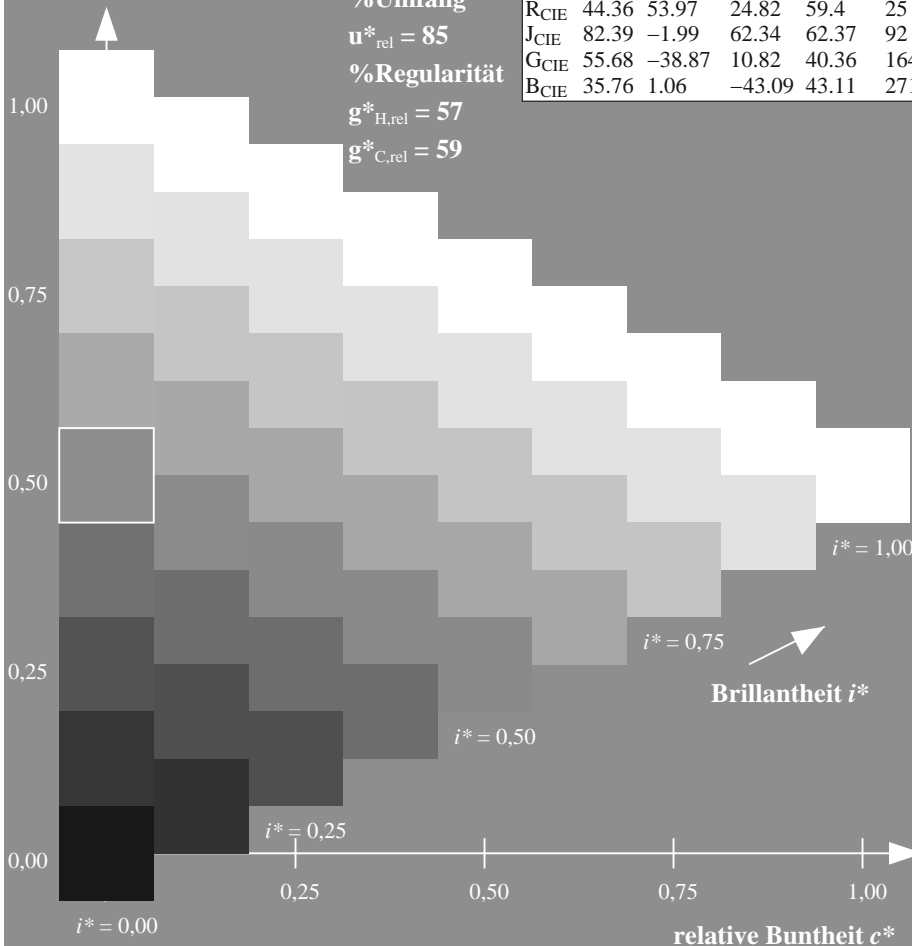
%Umfang

$u^*_{rel} = 85$

%Regularität

$g^*_{H,rel} = 57$

$g^*_{C,rel} = 59$



ZG880-7F, 9stufige Reihen für konstanten CIELAB Buntton 164/360 = 0.457 (links)

Seite 9/10

ZG880-7F, 16stufige Reihen für konstanten CIELAB Buntton 164/360 = 0.457 (rechts)

n\*

Eingabe: Farbmétrisches Offset-Reflektiv-System ORS18

für Buntton  $h^* = lab^*h = 271/360 = 0.754$

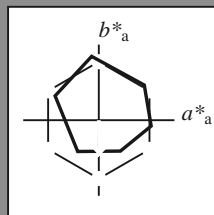
$lab^*tch$  und  $lab^*nch$

D65: Buntton B

LCH\*Ma: 46 41 271

olv\*Ma: 0.0 0.49 1.0

Dreiecks-Helligkeit  $t^*$



%Umfang

$u^*_{rel} = 85$

%Regularität

$g^*_{H,rel} = 57$

$g^*_{C,rel} = 59$

ORS18; adaptierte CIELAB-Daten

	$L^*=L^*_a$	$a^*_a$	$b^*_a$	$C^*_{ab,a}$	$h^*_{ab,a}$
O <sub>Ma</sub>	51.74	60.16	46.48	76.02	38
Y <sub>Ma</sub>	90.77	-9.44	84.41	84.94	96
L <sub>Ma</sub>	54.46	-57.8	32.16	66.15	151
C <sub>Ma</sub>	61.56	-27.91	-41.41	49.95	236
V <sub>Ma</sub>	31.3	28.61	-40.85	49.88	305
M <sub>Ma</sub>	51.91	69.26	-7.69	69.68	354
N <sub>Ma</sub>	24.2	0.0	0.0	0.0	0
W <sub>Ma</sub>	95.41	0.0	0.0	0.0	0
R <sub>CIE</sub>	44.36	53.97	24.82	59.4	25
J <sub>CIE</sub>	82.39	-1.99	62.34	62.37	92
G <sub>CIE</sub>	55.68	-38.87	10.82	40.36	164
B <sub>CIE</sub>	35.76	1.06	-43.09	43.11	271

Ausgabe: Farbmétrisches Offset-Reflektiv-System ORS18

für Buntton  $h^* = lab^*h = 271/360 = 0.754$

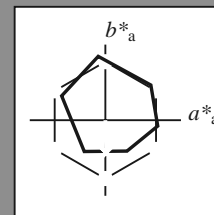
$lab^*tch$  und  $lab^*nch$

D65: Buntton B

LCH\*Ma: 46 41 271

olv\*Ma: 0.0 0.49 1.0

Dreiecks-Helligkeit  $t^*$



%Umfang

$u^*_{rel} = 85$

%Regularität

$g^*_{H,rel} = 57$

$g^*_{C,rel} = 59$

ORS18; adaptierte CIELAB-Daten

	$L^*=L^*_a$	$a^*_a$	$b^*_a$	$C^*_{ab,a}$	$h^*_{ab,a}$
R	51.79	63.09	29.02	69.44	25
R25J	53.73	56.6	48.42	74.48	41
R50J	65.47	35.67	59.82	69.65	59
R75J	76.51	15.98	70.55	72.34	77
J	86.93	-2.58	80.67	80.71	92
J25G	84.92	-17.23	75.99	77.92	103
J50G	73.11	-32.96	59.0	67.58	119
J75G	60.06	-50.34	40.22	64.44	141
G	56.21	-50.44	14.04	52.36	164
G25B	57.95	-43.12	-3.96	43.31	185
G50B	60.3	-33.22	-28.35	43.68	220
G75B	53.27	-12.42	-41.26	43.1	253
B	46.07	1.01	-41.12	41.15	271
B25R	34.63	22.38	-40.91	46.64	299
B50R	45.15	55.92	-18.57	58.93	342
B75R	51.85	65.84	12.67	67.04	11

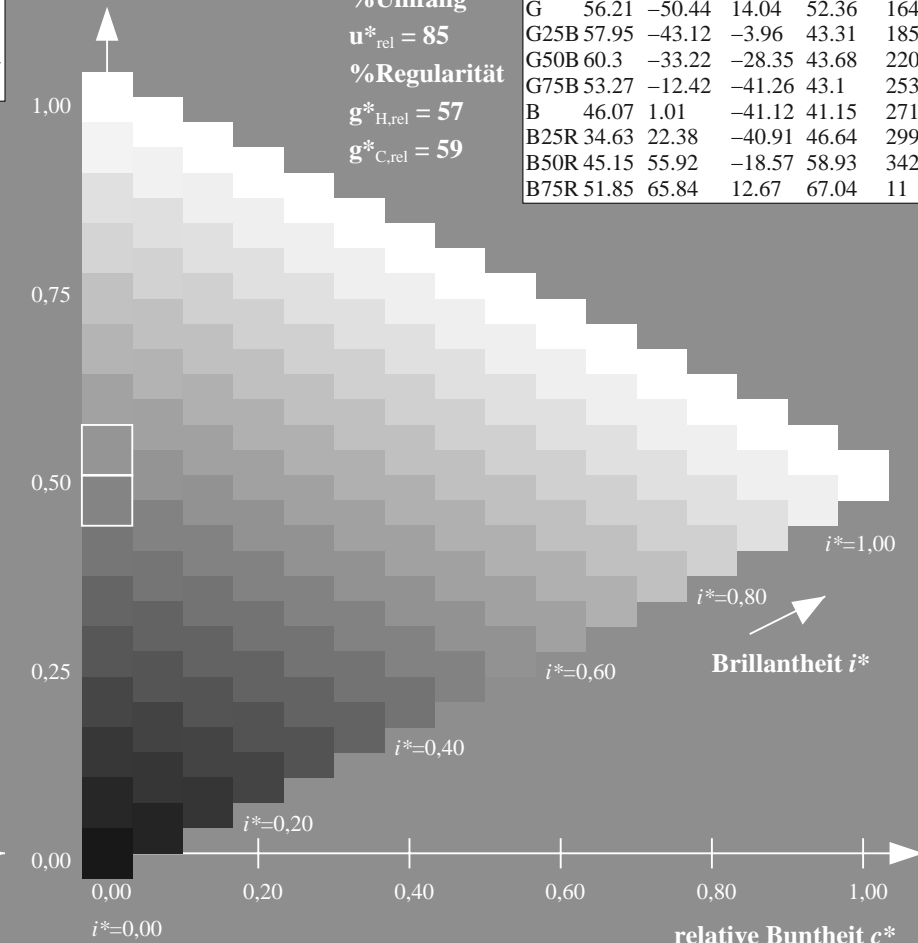
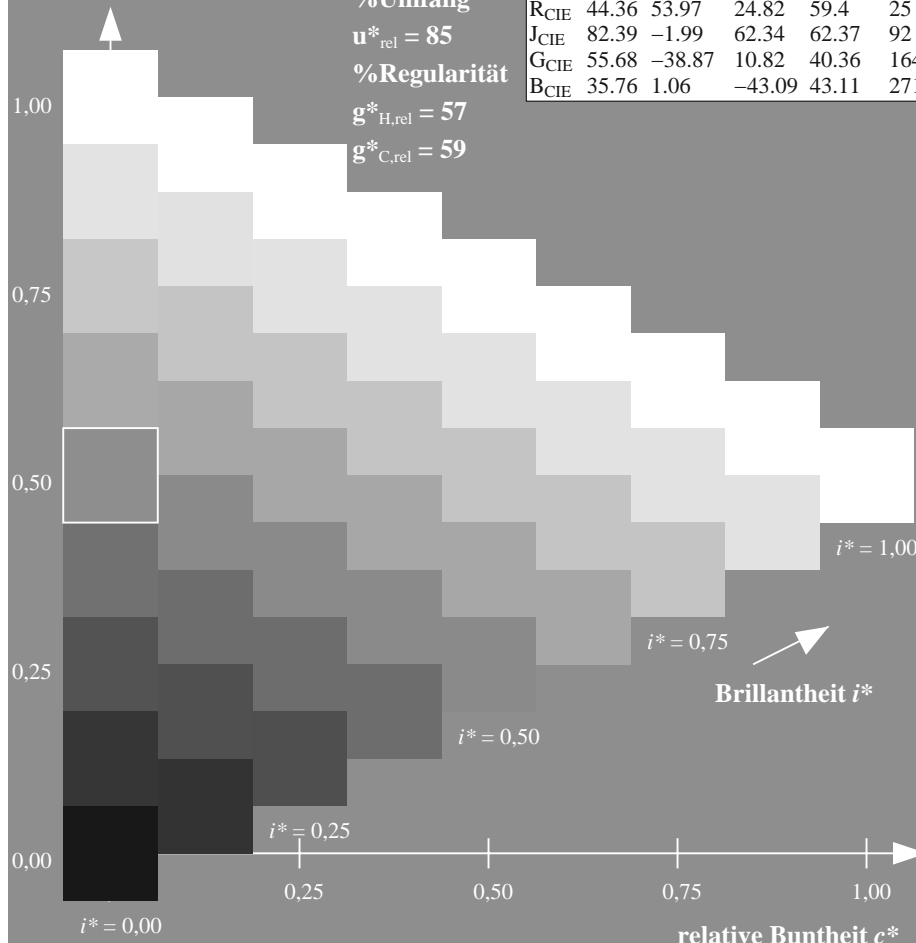
%Umfang

$u^*_{rel} = 85$

%Regularität

$g^*_{H,rel} = 57$

$g^*_{C,rel} = 59$



ZG880-7F, 9stufige Reihen für konstanten CIELAB Buntton 271/360 = 0.754 (links)

Seite 10/10

ZG880-7F, 16stufige Reihen für konstanten CIELAB Buntton 271/360 = 0.754 (rechts)

n\*

BAM-Prüfvorlage ZG88; Farbmétrik-Systeme, Seite 10/10 Eingabe:  $rgb / cmy0 set(rgb/cmyk)color$

D65: 9 und 16stufige Farbreihen für 10 Bunttöne

Ausgabe:  $\rightarrow LAB^* \rightarrow cmy5^* setcmykcolo$